



بهره‌برداری تاب آور، رفاهی و اقتصادی نانوشبکه هوشمند

سعید باقری^۱، حسین طالبی^۲، علیرضا فریدونیان^۳

^۱ فارغ‌التحصیل کارشناسی ارشد مهندسی برق، گروه قدرت، دانشگاه خواجه نصیرالدین طوسی، s.bagheri@mail.kntu.ac.ir

^۲ فارغ‌التحصیل کارشناسی ارشد مهندسی برق، گروه قدرت، دانشگاه خواجه نصیرالدین طوسی، htalebi@mail.kntu.ac.ir

^۳ استادیار، دانشکده مهندسی برق، گروه قدرت، دانشگاه خواجه نصیرالدین طوسی، fereidunian@eetd.kntu.ac.ir

پذیرش: ۱۳۹۷/۱/۲۱

ویرایش: ۱۳۹۶/۱۱/۳

دریافت: ۱۳۹۵/۱۲/۱۵

چکیده: امروزه، بدليل مشکلات تولید انرژی، هزینه زیاد و آلودگی محیط زیست، مدیریت مصرف انرژی الکتریکی از مسایل اصلی پژوهشی دنیا شده است. با پیشرفت شبکه هوشمند، وجود یک سیستم یکپارچه، دقیق و سریع می‌تواند هم رضایت ساکنین را برآورده سازد، و نیز کاهش هزینه را در برداشته باشد و حالات بهینه عملکرد وسایل را تعیین کند. مفهوم تاب آوری برای کاهش قطعی‌های بارهای حساس، معروفی شده است. در این پژوهش، یک نانوشبکه نمونه با چندین نوع وسایل متفاوت شامل منابع تولید پراکنده، ذخیره‌ساز و خودرو برقی، و نیز وسایل مصرف کننده انرژی در نظر گرفته شده است. کارآرایی روش پیشنهادی با زمانبندی دقیق عملکرد وسایل، درنظر گیری آسایش ساکنین و یافتن حالات بهینه عملکرد و نیز حضور نایقینی‌ها و سناریوسازی‌های دقیق تر نشان داده شده است. همچنین، در بخش اصلی پژوهش، تفاوت میان دو حالت درنظر گیری تاب آوری و درنظر نگرفتن آن نیز لحاظ شده است و نتایج حاصل با هم مقایسه می‌شود.

کلمات کلیدی: نانوشبکه، خانه هوشمند، مدیریت انرژی، تاب آوری، بهینه سازی هزینه، نایقینی، ابرمکعب لاتین، تولید پراکنده.

Resilient, Comfort and Economic Operation of Smart Nanogrid

Saeed Bagheri and Hossein Talebi, Alireza Fereidunian

Abstract: Nowadays, the management of power consumption has been one of the main concerns for researchers, because of energy generation problems, high cost and environment pollutions. An integrated, fast and accurate system can earn satisfaction of occupants and also cost reduction. Some loads are very vulnerable to natural disasters, thus this interruptions are costly for customers. The resiliency concept is introduced accordingly. The model presented in this research is a Nanogrid, equipped with DGs, batteries and electric vehicle, and power consumer. This research devotes an effort to optimize household energy cost, occupants comfort and Nanogrid resiliency with optimal scheduling of all elements considering uncertainty of distributed energy. If needed, utility can reduce potential peaks occurrence in grid, too. Finally, the performance of the method is discussed by simulation on a typical model. Simulation results under different pricing and weather modes, show effectiveness of proposed model on reducing the quantities of each considered cost functions.

Keywords: Nanogrid, Resilience, energy management, renewable energy sources, uncertainty, stochastic programming.

		شرح اختصار
t_{OD}	تعداد بازه عملکرد وسیله بعد از آغاز به کار	
t_j^{finish}	بازه زمانی پایان عملکرد وسیله زام	LHS
$OS_{t,j}$	متغیر بازیزی وضعیت عملکرد وسیله زام در بازه $t\Delta m$	MILP
$P_{t,j}^{sch}$	توان مصرفی وسیله زام در بازه زمانی $t\Delta m$	EEMS
$P_t^{demand,sch}$	کل توان مصرفی وسایل کنترل زمانی در بازه $t\Delta m$	RTP
DTR_j	نرخ زمان تأخیر وسیله زام	SOC
ρ	پارامتر تأخیر	PEV
$\theta_t^{amb}, \theta_t^{room}$	دماهی اتاق و هوای محیط در بازه زمانی $t\Delta m$	PSO
$\theta_t^{set,heater}, \theta_t^{set,cooler}$	دماهی تنظیم سیستم سرمایش و گرمایش در بازه زمانی $t\Delta m$	DTR
$\theta_{cooler}^g, \theta_{margin}$	مقدار حاشیه‌ای دماهی عملکرد و ثابت کاهش دما	EENS
OS_t^{cooler}	وضعیت عملکرد سیستم سرمایش در بازه زمانی $t\Delta m$	P_{thr}^{peak}
k_{human}, k_{th}^{room}	ثابت ترمودینامیکی اتاق و ثابت تبادل گرمایی بین انسان و محیط	δ
$n_{occupants}(t)$	تعداد افراد حاضر در اتاق در بازه زمانی $t\Delta m$	pdp
$k_{cooler}^{eff.}$	ضریب اثر گذاری دماهی سیستم سرمایش	v_{aw}, v_m
$P_t^{demand,cooler}$	توان دریافتی سیستم سرمایش در بازه زمانی $t\Delta m$	v_{co}, v_{ci}
P_{cooler}	توان الکتریکی مصرفی در سیستم سرمایش	v_{aw}, v_r
NOC	تابع هزینه عملکرد نانوشکه	$P_w(v)$
m^{pv}, m^{batt}, m^{wt}	هزینه نگهداری توربین بادی، سلول خورشیدی و باتری	$P_{PV}(si)$
D_t^{PEV}	مسافت طی شده توسط خودرو برقی (کیلومتر)	η^{PV}
CPEV	انرژی مصرف شده در خودروی الکتریکی به ازای هر کیلوتر پیمایش	S^{PV}
P_t^{PV}, P_t^{wt}	توان سلول‌های خورشیدی و توربین بادی طبق داده‌های پیش‌بینی	P_{rated}
q_i, b_i	قیمت خرید و فروش برق از/ به شبکه	$\eta_{PEV}^{ch}, \eta_{PEV}^{dch}$
$P_t^{grid,sell}$	توان دریافتی و ارسالی از/ به شبکه بالا دست در بازه $t\Delta m$	SOC_t^{PEV}
$P_t^{grid,buy}$		$P_t^{PEV,ch}$
s	شماره سناریو	$P_t^{PEV,dch}$
$P_{s,t}^{pv}, P_{s,t}^{wt}$	توان خروجی از توربین بادی و سلول خورشیدی در بازه $t\Delta m$ از سناریوی $t\Delta m$	P_t^{PEV}
π_s	احتمال سناریوی $t\Delta m$	P_t^{demand,non_sch}
		قابل کنترل زمانی در بازه $t\Delta m$
		t_j^{start}
		j
		t^{EST}
		t^{LF}
		روش نمونه‌برداری ابرمکعب لاتین
		برنامه‌ریزی خطی عدد صحیح مختلط
		سیستم مدیریت انرژی خبره
		قیمت گذاری بلاذرنگ
		وضعیت شارژ (میزان انرژی ذخیره شده)
		خودروی الکتریکی
		بهینه سازی ازدحام ذرات
		نرخ زمان تأخیر
		انتظار انرژی تأمین نشده
		شرح علامت
		مقدار آستانه پیک تقاضا از شبکه
		مقدار هر کیلووات ساعت انرژی دریافتی از شبکه بیشتر از مقدار آستانه
		میانگین سرعت باد
		سرعت کات‌این و کات‌آف
		سرعت نامی و سرعت اعمال شده به توربین بادی
		توان خروجی توربین بادی به ازای سرعت باد V
		توان خروجی فتوولتایک به ازای تابش Si
		بازده سلول‌های خورشیدی
		مساحت کل فتوولتایک
		توان نامی توربین بادی
		بازده شارژ و دشارژ خودروی الکتریکی
		انرژی ذخیره شده در خودروی الکتریکی در بازه $t\Delta m$
		توان شارژ دشارژ خودروی الکتریکی در بازه زمانی $t\Delta m$
		توان شارژ/دشارژ خودروی الکتریکی
		توان مصرفی خودروی الکتریکی توسط لوازم خانگی غیر قابل کنترل زمانی در بازه $t\Delta m$
		بازه زمانی آغاز به کار وسیله زام
		شاخص نشان دهنده هر وسیله
		زودترین بازه زمانی آغاز به کار
		دیرترین بازه زمانی پایان عملکرد

نمودی از تاب آور کردن سیستم می‌باشد. این مفهوم وابسته به تولید، تقاضا، ساعت روز و مدت زمان قطعی است. روش برنامه‌ریزی به صورت تصادفی است. وضعیت شارژ (SOC)، میزان حداقلی شارژ باقی‌مانده در باتری را نشان می‌دهد. استراتژی کنترلی آن تنها بر روی باتری است و به سه حالت در نظر گرفته شده است. حالت اول باتری تا آخرین لحظه دشارژ شود و شارژ آن تنها با تولید محلی باشد. در حالت دوم وقتی شبکه متصل است باتری هیچ گاه تا آخر دشارژ نشود و در حالت سوم یک SOC2 پایه برای حالت اضطراری تعیین شود که در صورت لزوم از SOC1 به SOC2 برود. در [۶] آنالیز تاثیر مدیریت انرژی در موقع خروج تولید، در صورت اتصال خودرو به خانه هوشمند کار شده است. استراتژی استفاده شده مدل‌ملکرد خفیف شده است. در حالت برقدار بودن سیستم کنترلی به صورت عادی کار می‌کند و خودرو اولویت شارژ را دارد. این پژوهش حالات قطع و برق و مدت زمان آن را اولویت قرار داده است. یعنی پس از قطعی برق با یک استراتژی خاص کار می‌کند تا از مرکز دلیل و زمان قطعی را دریافت کند. حال استراتژی‌های دیگر را بر اساس تخمین مدت زمان قطع برق اعمال می‌کند. ارزیابی تاب آوری نیز تنها به وسیله مقایسه حالت با خودرو برقی و بدون خودرو برقی انجام شده است. به گونه‌ای که با تحلیل نمودار توان، مشاهده می‌شود که مدت زمان و میزان توان برق رسانی در حالت جزیره‌ای با کمی حساسیت بهبود یافته است که این خود نمودی از تاب آوری در نانوشکه می‌باشد.

در [۷] یک مدل از سیستم مدیریت انرژی خانگی مطرح شده است که استراتژی مدیریتی را با هدف افزایش تاب آوری نشان می‌دهد. در مرجع [۸] مسئله زمانبندی منابع انرژی ساختمان با بررسی یک ساختمان کم انرژی کاربردی مقایسه شده است. تابع هدف آن، کمینه کردن هزینه کلی برق و گاز طبیعی هنگام عملکرد ساختمان در بازه‌های مختلف زمانی می‌باشد در حالی که قید تعادل انرژی و قیود عملکرد پیچیده و سایل و تجهیز تغذیه انرژی نیز رعایت می‌شوند. برنامه پاسخ‌گویی با یک مسئله بهینه‌سازی چالش برانگیز است. به منظور حل این مسئله به طور مؤثر، یک رویه ابتکاری در [۹] برای دستیابی به راه حلی تزدیک به بهینه‌های محاسباتی کم، ارائه شده است. این مرجع در عین حال که کنترل مناسب برای لوازم خانگی گرمایی ارائه می‌دهد ولی به دلیل استفاده از ترخ قیمت-گذاری زمان استفاده و بازه‌های شیوه‌سازی یک ساعته از دقت کافی برخوردار نمی‌باشد. مرجع [۱۰] مفهوم خانه تبادل انرژی صفر را بیان کرده است و بررسی آماری و تحلیلی جامع بر روی چندین خانه در نقاط مختلف دنیا انجام شده است؛ بدین معنی که فرایند هوشمندسازی و بهینه‌سازی مصرف برق، به وسیله جایگزینی منابع انرژی تجدیدپذیر، به عنوان جانشینی مناسب برای سوخت‌های فسیلی و خروج وابستگی خانه‌ها به شبکه برق را بیان می‌کند و تاثیر حضور این مفهوم را به خوبی نشان می‌دهد. که در مرجع [۱۱] بهره‌برداری و مشارکت بهینه سلول خورشیدی، توربین بادی و تولید کوچک برق آبی به عنوان منابع تولید انرژی یک خانه در نظر گرفته شده‌اند که منجر به ارایه شما می‌باشد که این خانه هوشمند انرژی صفر

۱- مقدمه

ساختمان‌های تجاری و مسکونی بیش از ۵۰٪ مصرف انرژی الکتریکی اروپا را به خود اختصاص می‌دهند که عموماً دارای بازده پایین می‌باشند. بر اساس مفهوم خانه‌های هوشمند، این واحدها را می‌توان به گره‌های یک شبکه هوشمند تبدیل کرد که بخش چشم‌گیری از انرژی مصرفی توسط انرژی‌های تجدیدپذیر، به صورت محلی در ریزشبکه خانه‌ها تولید شده و تمامی تولید کنندگان و مصرف کنندگان به صورت هوشمند مدیریت می‌گردند. با پیشرفت فناوری مخابرات و اطلاعات و نیز تکنولوژی ساخت، مفاهیم و فناوری‌های جامعی برای خانه‌های هوشمند اتخاذ شده است. با این روش، خانه‌های هوشمند یک مشتری فعلی در نظر گرفته می‌شوند که با شبکه هوشمند در یک تعامل نزدیک با محیط محلی و سطح بالاتر شبکه هوشمند، مذاکره و همکاری می‌کنند. خانه‌های اخیرا توسعه یافته و وسائل بر قی شان (گرم کنندگاه، دستگاه تهویه هوا، تجهیزات سرگرمی، وسائل خانگی و ...)، راهبرد کنترل و ساختار شبکه موجب ارتقاء بازده انرژی و بهبود مدیریت ریزشبکه برق محلی و شبکه دوردست از طریق مدیریت انرژی فعال سمت بار، و جمع آوری مقدار زیادی از منابع انرژی تجدیدپذیر پراکنده کم قدرت و در نتیجه کاهش چشمگیر استفاده از منابع سنتی، می‌گردد [۱]. خانه هوشمند، نمودی از یک نانوشکه است. با توجه به تعاریف نانوشکه و دستاوردهای اخیر در این زمینه، خانه‌های هوشمند یک سیستم مهم در اجزای شبکه می‌باشد. با توجه به اهمیت بحث تاب آوری و پیشرفت سیستم‌های خانه هوشمند، اگر توان یک نانوشکه را در برابر رخداد خطای مقاوم کرد، ریزشبکه بالادرست می‌تواند به اجزای دیگر شبکه خود برسد و توان را تامین کند. در بحث تاب آوری در خانه هوشمند، رخدادهای متفاوتی می‌تواند تاثیرگذار باشد. به دلیل قابلیت کارکرد حالت جزیره‌ای نانوشکه، می‌توان نانوشکه را یک بخش مناسب برای افزایش تاب آوری در نظر گرفت [۲].

امروزه با وجود تحقیقات و تکنولوژی‌های نوین در زمینه خانه هوشمند، ویژگی‌هایی به خانه هوشمند اضافه شده است که می‌توان به وسیله آن، زیرساخت‌های مناسب را برای سیستم‌های کنترلی به منظور پایش و کنترل مصرف انرژی فراهم آورد [۳]. همچنین مدیریت سمت تقاضا که روشی برای بیشینه کردن سود برای تولید کننده و مصرف کننده ارایه می‌دهد، که کیفیت انرژی^۱ و پاسخگویی بار^۲ اجزای اصلی این مفهوم هستند و با این دو قسمت می‌توان به دستاوردهای موردنظر در مدیریت سمت تقاضا دست یافت که این دستاوردها شامل، پیک‌سایی، افزایش پایایی و کاهش هزینه می‌شود [۴].

پژوهش‌های مختلفی در زمینه تاب آوری و نانوشکه انجام شده است که حتی در برخی موارد اسمی از تاب آوری به میان نیامده؛ اما در دل خود یک سیستم تاب آور ساخته شده و نتایج مفید آن بازگو شده است که همگی در حالات اضطرار برسی شده‌اند.

در [۵] از یک مفهوم به عنوان "قابلیت باززیستی" استفاده شده است که از نظر مهندسی برق به معنای احتمال ادامه برق رسانی می‌باشد که خود

قرارگیری تاب آوری در مساله انجام شده است. تفاوت اصلی این مقاله با سایر مقالات، درنظرگیری تاب آوری از سطح جزئی که همان نانوشکه می‌باشد، است که مجموعه چندین نانوشکه تاب آور، خودبخود ریزشکه-ای تاب آور را در پی دارد.

در بخش ۱ مقدمه و مروری بر ادبیات پیشین انجام شد. در بخش ۲ توضیح مختصری از تاب آوری و در بخش ۳ روش کار ساختار شبکه نمونه قابل مشاهده است. همچنین در این بخش در مورد فرمولهای مورد نیاز شرح داده شده است. بخش ۴ مربوط به نتایج می‌باشد و به بحث و تحلیل آن‌ها پرداخته شده است. و در نهایت در بخش ۵، جمع‌بندی و نتیجه‌گیری قرار دارد.

۲- تاب آوری^۱

خاموشی‌های گسترده با احتمال سیار پایینی امکان رخ دادن دارند اما هزینه‌های اقتصادی اجتماعی سنگینی دربردارد. طبق گزارش انجمن اقتصادی کاخ سفید در امریکا، بیشترین دلیل قطعی برق در این کشور بر اثر حوادث جوی است. مطالعات نشان می‌دهد ضرر مربوط به مشکلات آب و هوازی در شبکه قدرت از سال ۲۰۰۳ تا ۲۰۱۲ به ۳۰۰ میلیارد دلار می‌رسد. در سال ۲۰۱۲ نیز طوفان سندی باعث بی‌برق شدن حدود ۷/۵ میلیون شهروند در ۱۵ ایالت شد و تنها بخشی از ایالات مرکزی کشور که مجهز به میکروگرید قابل کنترل بود نجات پیدا کردند که اهمیت این مفهوم را می‌رساند. تاب آوری، همانطور که توسط دفتر کایenne دولت انگلستان تعریف شده است عبارت است از: "منابع شبکه و سیستم، برای پیش‌بینی، جذب و انطباق و بازیابی بعد از یک رویداد مخرب است." این تعریف چهار قسمت از تاب آوری شبکه را مشخص می‌کند: تحمل در برابر خط، پاسخگویی سریع، ترمیم و پایابی [۱۶]. با توجه مرجع [۱۷]، شخص عملکرد عادی و خطاب برای یک نانوشکه، نیازمند نانوشکه به شبکه قدرت است. یعنی اگر بتوان محتاج بودن به شبکه قدرت بالادست را کاهش داد، به تبع آن می‌توان یک نانوشکه تاب آور داشت تا در موقع خطا، نیازمندی کمتری وجود داشته باشد و خود نانوشکه بخشی از توان مورد نیازش را تامین نماید. در این پژوهش مفهوم تاب آوری به گونه‌ای دیگر بیان شده است. با توجه به اینکه تاب آوری به معنای فراتر از قابلیت اطمینان است، اگر بتوان قابلیت اطمینان را بالاتر از حد نرمال برد، به این معنا است که به سیستمی تاب آورتر دست خواهد یافت [۱۸]. بنابراین با توجه به احتمال قطعی برق از شبکه بالادست، اگر بتوان نیازمندی به سیستم بالادست را کاهش داد می‌توان سیستم را تاب آور کرد.

در مفهوم تاب آوری، وابستگی شدید به عواقب یک حادثه، تطبیق پذیری سیستم و سرعت بازیابی آن به زمان، فاکتورهای مهمی هستند که باید در بررسی به آن‌ها توجه شود. همچنین پاسخ دهنی سیستم پیش از

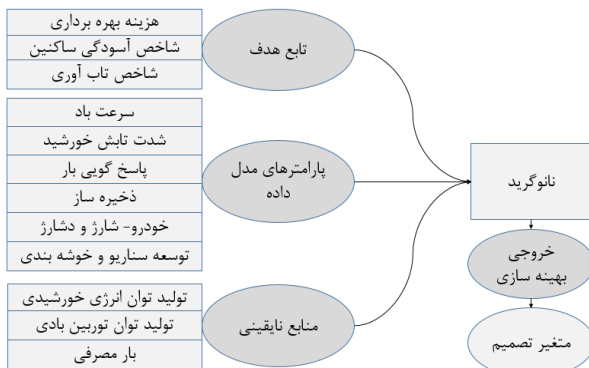
کارآمد، چه از نظر عدم آلوگری و چه از نظر هزینه را به خوبی به نمایش می‌گذارد. همچنین، این پژوهش به وسیله نرم‌افزار Homer انجام شده است. در [۱۲]، زمانبندی بهینه مصرف انرژی خانه‌های هوشمند با استفاده از یک روش برنامه‌ریزی خطی عدد صحیح مختلط (MILP) مورد مطالعه قرار گرفته است. به منظور کمینه کردن مصرف انرژی پیش‌بینی شده برای یک روز، عملکرد منابع انرژی توزیع شده و لازم خانگی مصرف-کننده برق بر اساس قیمت گذاری بلادرنگ، پنجره زمانی وسائل برقی و خروجی انرژی تجدیدپذیر پیش‌بینی شده، زمانبندی و برنامه‌ریزی شده است. برای کاهش پیک دیماند از شبکه، طرح قیمت گذاری بار پیک تقاضا نیز اتخاذ شده است. در عین جامع بودن این پژوهش در آن زمانبندی مناسبی برای تخلیه انرژی باقی‌مانده در باتری خودروی الکتریکی در ساعات مورد نیاز در نظر گرفته نشده است. در [۱۳] با استفاده از الگوریتم-های برنامه‌ریزی خطی، هزینه عملکرد ریزشکه کمینه شده و وضعیت شارژ باتری بهینه شده است. این مرجع بیشتر به صورت جزئی روی رفار فرکانس بالای اجزاء به مطالعه پرداخته است. مرجع [۱۴] یک استراتژی مشارکت بهینه جدید را برای یک ژنراتور بادی پیشنهاد داده است که یک تجهیز ذخیره‌ساز انرژی را برای مشارکت در فرایند تخصیص واحد روز پیش رو بکار می‌گیرد هر چند از بحث مدیریت انرژی خانه و چگونگی اجرای آن صحبتی به میان نیامده است. مرجع [۱۵] یک سیستم زمانبندی بهینه لوازم خانگی را با یک باتری به عنوان سیستم ذخیره‌ساز انرژی تحت تعریف برق زمان استفاده، شرح می‌دهد. اندازه گیری‌های مربوط به مصرف توان لوازم خانگی و پروفیل‌های تقاضا از قبل بدست آمده‌اند. در این مقاله، یک مدل ریاضی برنامه‌ریزی غیرخطی عدد صحیح مختلط با قیود عملیاتی کاربردی تر برای زمانبندی باتری، فرموله و حل شده است. در نهایت نتایج حاصل از شیوه‌سازی در دو زمینه‌ی صرفه‌جویی در هزینه‌ها و پیکساوی مورد بررسی قرار گرفته است هر چند در این مرجع از وجود منابع انرژی باد و خورشید در خانه بهره گرفته نشده است.

پژوهش‌های فراوانی در مورد این موضوع انجام شده است که چند مورد از آن‌ها در این بخش مورود شد. اما در هیچ کدام از این پژوهش‌ها، بحث تاب آوری به میان نیامده است و یا به صورت خیلی مختصر در مورد آن بحث شده است و تنها از مفهوم سطحی تاب آوری به منظور تداوم برق رسانی استفاده شده است؛ همچنین مقالات بسیار کمی در بحث تاب آوری در یک نانوشکه ارایه شده است و همچنان خلا در این موضوع احساس می‌شود.

این پژوهش، بحث تاب آوری را در سطح نانوشکه بیان کرده است. در این مقاله، مساله از نقطه نظر اقتصادی و نیز رفاه ساکنین مورد بررسی قرار می‌گیرد. نکته قابل توجه این است که بحث تاب آور بودن خانه نیز توامان درنظر گرفته شده که نتایج شیوه‌سازی با درنظر گیری نایقینی‌ها، بر محوریت تاب آور بودن، محاسبه و یک مقایسه با درنظر گرفتن و عدم

^۱ Resiliency

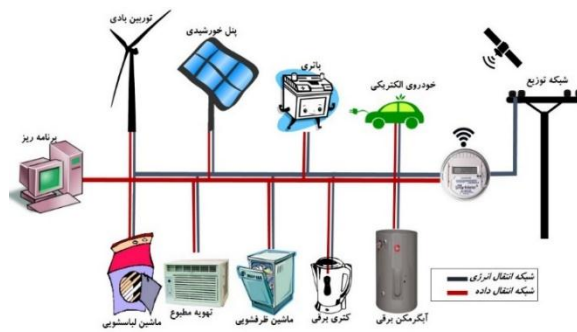
است سیستم ذخیره‌سازی انرژی را شارژ یا دشارژ نماید. شکل(۲) مدل مفهومی این پژوهش را ارایه می‌دهد.



شکل ۲: مدل مفهومی کار مطالعاتی این مقاله

۱-۳- ساختار پیشنهادی

اجزای نانوشبکه‌ای که در این پژوهش مورد مطالعه قرار گرفته است، به صورت شکل ۳ می‌باشد.



شکل ۳: اجزای نانوگرد مورد مطالعه

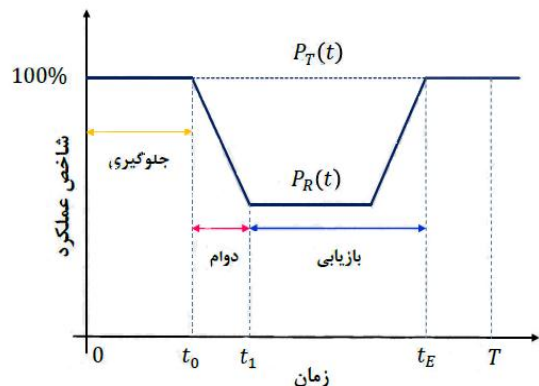
نانوشبکه مورد مطالعه از بخش‌های منابع تولید، شبکه اصلی، لوازم خانگی و کنترل کننده تشکیل شده است. کنترل کننده نانوشبکه، وظیفه مدیریت انرژی یک خانه هوشمند را بر عهده دارد. بخش‌های اصلی این سیستم کنترل کننده عبارتند از: بخش پیش‌بینی، بخش زمان‌بندی و بخش کنترل لحظه‌ای. بخش پیش‌بینی وظیفه‌ی جمع‌آوری داده‌های مورد نیاز از جمله سرعت باد، تابش خورشید و دمای هوا را از پایگاه‌های داده‌های هواشناسی معتبر دارد. بخش کنترل لحظه‌ای اطلاعات مربوط به وضعیت عملکرد سایر اجزاء را از طریق سنسورها و شبکه مخباراتی در اختیار سیستم مدیریت انرژی قرار می‌دهد. بخش زمان‌بندی به عنوان بخش تصمیم‌گیری سیستم مدیریت انرژی عمل می‌کند.

۲-۳- فرضیات پژوهش

در این پژوهش، مدل پیشنهادی برای مدیریت انرژی نانوشبکه، برخی فرضیات در عملکرد اجزاء در نظر گرفته شده است. به طور خلاصه، این فرضیات در هریک از بخش‌ها عبارتند از شبکه بالادست، منابع تجدیدپذیر و پارهای.

اختلال، پس از آن و در طول حادثه مهم است [۲۱-۲۲]. در شکل ۱ روند تاب آوری در یک سیستم قدرت مشخص شده است. شاخص عملکرد، MOP می‌باشد. با وجود اینکه این نمودار در سیستم قدرت تعريف شده است، اما می‌توان روی هر سیستمی اجرا کرد. اما برای ظاهری این رابطه، بسته به نوع مطالعه، MOP مورد نظر باید انتخاب شود. در شکل ۱، یک نمودار ریاضی وار مشاهده می‌شود که دو تابع ($P_T(t)$ و $P_R(t)$) مشخص شده اند که به ترتیب تابع مقدار شاخص عملکرد در حالت عادی و در حالت خطا می‌باشد. در رابطه (۱)، $R(t)$ شاخص اندازه گیری تاب آوری می‌باشد.

$$R(T) = \frac{\int_0^T P_R(t) dt}{\int_0^T P_T(t) dt} \quad (1)$$



شکل ۱: نمودار مربوط به شاخص تاب آوری [۲۲].

با توجه مرجع [۲۲]، شاخص عملکرد عادی و خطای برای یک نانوشبکه، نیازمندی نانوشبکه به شبکه قدرت است. یعنی اگر بتوان محتاج بودن به شبکه قدرت بالادست را کاهش داد، به طبع آن می‌توان یک نانوشبکه تاب آور داشت تا در موقع خطا، نیازمندی کمتری وجود داشته باشد و خود نانوشبکه بخشی از توان مورد نیازش را تامین نماید؛ این بدین معنا است که $P_R(t)$ به $P_T(t)$ نزدیک تر می‌شود، پس $(R(t))$ افزایش می‌یابد.

۳- روش

این پژوهش با هدف کمینه کردن هزینه کل یک نانوشبکه که شامل هزینه خرید برق از شبکه توزیع بالادستی، هزینه عملکرد هر یک از اجزاء از قبلی بخش از تولید پراکنده تجدیدپذیر و با تری ذخیره‌ساز انرژی می‌باشد و بیشینه کردن سود حاصل از فروش انرژی به شبکه توزیع بالادستی در ساعات اوج بار، انجام شده است. نانوشبکه، هم‌چون ریزشبکه، انرژی تولید شده توسط منابع انرژی پراکنده اعم از تجدیدپذیر و تجدیدناپذیر را جمع‌آوری کرده و مطابق با فرمان صادر شده از سیستم مدیریت انرژی خانه یا ساختمان، آن را بن مصرف کننده‌های خانگی توزیع کرده و ممکن

ساز متصل شده به آن قابلیت شارژ یا دشارژ انرژی را در زمان‌های برنامه‌ریزی شده دارد. علاوه بر آن، نانوشبکه با اتصال به شبکه توزیع بالادستی، امکان تبادل توان دو طرفه دارد.

۴-۱- مدل سازی خرید و فروش

هدف از پاسخگویی بار تنها مصرف برق کمتر در ساعت‌های پیک نیست، بلکه می‌تواند جلوگیری از بروز پیک‌های ناخواسته در ساعت‌های کم‌باری نیز باشد. بنابراین به ازای مقادیر انرژی دریافتی بیشتر از مقدار آستانه در هر بازه زمانی Δt ، جریمه‌ای به هزینه خرید برق از شبکه اضافه می‌شود که از رابطه‌ی زیر بدست می‌آید [۲۴]:

$$(P_t^{\text{grid,buy}} - P_{\text{thr}}^{\text{peak}}) \cdot \delta \cdot pdP \quad (۲)$$

رابطه‌ی (۲)، نوع خاصی از قیمت‌گذاری بلاذرنگ δ می‌باشد.

۴-۲- مدل سازی توربین بادی

برای مدل سازی بخش مربوط به توان توربین بادی از تابع احتمالاتی ریلی^۵ استفاده شده است. به صورتی که ابتدا به وسیله تابع ریلی چندین نمونه از داده‌های اولیه باد تولید شده و سپس با استفاده از رابطه (۳)، خروجی توربین بادی قابل محاسبه خواهد بود: [۲۵]

$$P_w(v) = \begin{cases} 0 & ,0 \leq v_{aw} \leq v_{ci} \\ P_{\text{rated}} \times \frac{(v_{aw} - v_{ci})}{(v_r - v_{ci})}, P_{\text{rated}} & v_r \leq v_{aw} \leq v_{co}, v_{ci} \leq v_{aw} \leq v_r \\ 0 & ,v_{co} \leq v_{aw} \end{cases} \quad (۳)$$

۴-۳- مدل سازی پنل خورشیدی

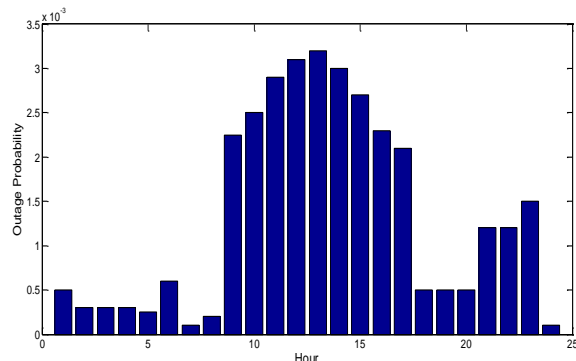
در این بخش نیز مانند تولید توان بادی، ابتدا به وسیله تابع بتا داده‌های اولیه تولید شده و سپس به وسیله رابطه (۴) میزان تولید توان سیستم پنل خورشیدی قابل محاسبه خواهد بود: [۲۵]:

$$P_{PV}(si) = \eta^{PV} \times S^{PV} \times si \quad (kW) \quad (۴)$$

۴-۴- مدل سازی ذخیره‌ساز و خودرو الکتریکی

برای مدل سازی خودروی الکتریکی^۶ و ذخیره‌ساز، از مدل بکار رفته در مرجع [۲۶] استفاده شده است. با توجه به اینکه خودرو نیز نوعی ذخیره‌ساز می‌باشد روابط این دو المان تقریباً به مانند هم هستند. این خودروها از باتری‌های قابل شارژ استفاده می‌کنند که می‌توانند با اتصال به پریزهای برق موجود در خانه، عمل شارژ و دشارژ را انجام دهند. بنابراین اگر مدیریتی صورت نگیرد، عمل شارژ و دشارژ در موقع نامناسب می‌تواند اثرات نامطلوب از جمله پرشدگی خطوط روى شبکه بگذارد. در حقیقت یک خودرو بر قی همانند سیستم ذخیره‌سازی عمل می‌کند که در ساعتی از روز حضور ندارد.

در شبکه بالادستی داده‌های مربوط به قیمت برق برای یک روز پیش رو، به صورت خودکار از طرف شرکت توزیع به کامپیوتر سیستم برنامه‌ریز، ارسال می‌گردد. این داده‌ها شامل قیمت‌های بلاذرنگ و قیمت توان پیک دریافتی از شبکه بالادستی، در صورت اعمال قیمت‌گذاری پیک تقاضا از شبکه، می‌باشد که برای بازه‌های زمانی یک ساعته ارائه می‌شوند. همچنین در منابع تجدیدپذیر، داده‌های مربوط به دما، سرعت باد و تابش خورشید برای روز آینده، به صورت خودکار توسط برنامه‌ریز از پایگاه‌های پیش‌بینی آب و هوا دریافت می‌گردد. داده‌های تاریخی کاملاً نیز درباره میانگین و انحراف استاندارد سرعت باد و تابش خورشید، از قبل در کامپیوتر برنامه‌ریز، ذخیره شده است. بارهای کثیریکی با توجه به روش کنترل آن‌ها به سه دسته تقسیم شده‌اند: بدون قابلیت تنظیم زمان عملکرد، با قابلیت تنظیم زمان عملکرد و با قابلیت تنظیم دمای عملکرد. احتمال قطع برق شبکه بالادست به صورت شکل ۴ است. با استفاده از شکل ۴ می‌توان با کمک تعاملی که مفهوم قابلیت اطمینان با تاب آوری دارد سیستم را در تمامی ساعات روز با هدف تاب آورتر کردن، بهینه کرد.



شکل ۴: احتمال قطع برق برای هر ساعت در یک روز نمونه [۲۳]

۴-۳-۳- هدف پژوهش

هزینه کل عملکرد نانوشبکه در این پژوهش را می‌توان به دو قسم اصلی هزینه‌های نگهداری تجهیزات و هزینه خرید انرژی از شبکه بالادستی تقسیم کرد. هزینه خرید انرژی از شبکه بالادستی نیز طبق سازوکار از پیش تعیین شده بین خانه و شرکت توزیع انجام می‌پذیرد. در کنار هزینه عملکرد نانوشبکه، هزینه آسودگی خاطر ساکنین و هزینه تاب آوری نانوشبکه در برای وقوع خاموشی، نیز در نظر گرفته می‌شوند.

کمینه سازی:

هزینه آسودگی خاطر ساکنین + هزینه تاب آوری انرژی + هزینه عملکرد نانوشبکه

۴- مدل سازی

نانوشبکه در نظر گرفته شده در این پژوهش مجدهز به شبکه‌ای است که انرژی تولید شده توسط توربین بادی و سلول‌های خورشیدی را دریافت کرده و بین لوازم خانگی مصرف کننده انرژی، توزیع می‌کند. ضمناً ذخیره

بازه را نشان می دهد. اما دسته سوم لوازم برقی با تنظیم دمایی می باشد که با تنظیم دما می توان مصرف برق را کنترل کرد. این وسائل شامل سیستم گرمایشی و سرمایشی خانه، یخچال و فریزر می باشد و روابط ریاضی مشابهی بر آنها حاکم است. براساس [۲۴] و [۲۷] روابط مربوط به این دسته وسائل به صورت زیر است.

$$OS_t^{cooler} = \begin{cases} 1 & , \theta_t^{room} > \theta_t^{set.cooler} \\ 0 & , \theta_t^{room} \leq \theta_t^{set.cooler} - \theta_{margin} \\ OS_{t-1}^{cooler} & , otherwise \end{cases} \quad (14)$$

$$\theta_t^{room} = \theta_{t-1}^{room} + k_{th}^{room} \cdot (\theta_{t-1}^{amb} - \theta_{t-1}^{room}) + k_{human} \cdot n_{occupants}(t-1) \cdot (\theta_{human} - \theta_{t-1}^{room}) \quad (15)$$

$$+ k_{cooler}^{eff} \cdot \theta_{cooler}^g \cdot OS_{t-1}^{cooler} \quad P_t^{demand.cooler} = OS_t^{cooler} \cdot P_{cooler} \quad (16)$$

۶-۴- نوخ زمان تأخیر

برای نمایش ریاضی آسايش ساكنین طبق [۲۸] یک رابطه در نظر گرفته شده است. ساكنین خانه معمولاً ترجیح می دهند تا هر وسیله در یک زمان مشخص به منظور اجتناب از قیمت های پیک، عملکرد داشته باشد و در عین حال کارشان را قبل از رسیدن به یک زمان مشخص تمام کنند. از این رو، پارامتری به نام نوخ زمان تأخیر (DTR) به عنوان شاخصی برای آسودگی خاطر ساكنین در نظر گرفته می شود که به صورت (۱۷) تعریف می گردد:[۲۸]

$$DTR_j = \frac{t_j^{start} - t_j^{EST}}{(t_j^{LF} - t_j^{OD}) - t_j^{EST}} \quad (17)$$

از آنجایی که پارامتر تأخیر بزرگتر از ۱ است، ρ^{DTR_j} به صورت نمایی با افزایش DTR_j پیوسته افزایش می یابد یعنی هرچه وسیله تأخیر بیش تری در عملکرد خود در پنجره زمانی اش پیدا کند، مقدار مربوط به هزینه تأخیر آن، افزایش به مراتب بیش تری پیدا می کند. در حقیقت ρ به عنوان پارامتر تأخیر است. برای ساكنین خانه مطلوب است که مقدار رابطه (۱۸) تا جایی که ممکن است و منافع مادی آنها را به خطر نمی اندازد، کوچک و کوچکتر باشد؛ هرچه این مقدار کوچکتر باشد وسائل نزدیکتر به زمان تنظیم شده کار می کنند.

$$\sum_{j \in J} \rho^{DTR_j} \quad (18)$$

۷-۱- تولید سناریو برای در نظر گیری نایقینی

روش نمونه برداری ابرمکعب لاتین^(۸) (LHS) به منظور ترکیب و تولید سناریوهای تولیدات توان باد و خورشید بکار گرفته شده است. روش LHS، منافع زیادی از لحاظ افزایش بازده نمونه برداری و زمان اجرای سریع تر در مقایسه با روش نمونه برداری مونت کارلو سنتی ارائه می دهد[۲۵]. روش LHS به دو گام شامل نمونه برداری و ترکیب تقسیم‌بندی شده است. در مرحله نمونه برداری ۳۰۰۰ نمونه برای نشان دادن طبیعت تصادفی سرعت

$$0 \leq P_t^{PEV, ch} \leq P_{PEV, ch}^{\max} \quad (5)$$

$$0 \leq P_t^{PEV, dch} \leq P_{PEV, dch}^{\max} \quad (6)$$

$$P_t^{PEV} = \frac{P_t^{PEV, dch}}{\eta_{PEV}^{dch}} = P_t^{PEV, ch} \cdot \eta_{PEV}^{ch} \quad (7)$$

$$SOC_{t+1}^{PEV} = SOC_t^{PEV} + \delta \cdot \eta_{PEV}^{ch} \cdot P_t^{PEV, ch} - \delta \cdot P_t^{PEV, dch} / \eta_{PEV}^{dch} - D_t^{PEV} \cdot C_{PEV} \quad (8)$$

$$SOC_{PEV}^{\min} \leq SOC_t^{PEV} \leq SOC_{PEV}^{\max} \quad (9)$$

برای یک خودروی الکتریکی، زمان خروج و ورود آن و میزان مسافت طی شده در روز پیش رو، توسط کاربر خودرو تعیین می گردد. در این ساعت‌ها خودرو برای شارژ یا دشارژ در نانوشکه در دسترس نیستند. بنابراین $P_t^{PEV, dch}$ و $P_t^{PEV, ch}$ در این ساعت‌ها صفر هستند.[۲۶]. پارامترهای ذخیره‌ساز خودرو مشابه با پارامترهای ذخیره‌ساز تعییه شده در خانه هوشمند است و تنها ترم آخر رابطه (۷) در آن وجود ندارد و به جای آن رابطه حرارتی سیستم ذخیره‌ساز درنظر گرفته می شود.

۴-۵- مدل سازی مصرف کنندگان انرژی در خانه

تجهیزات خانه از قبیل لوازم خانگی هوشمند، سنسورها و منابع تولید پراکنده از طریق یک شبکه محلی خانگی به هم متصل و مرتبط شده‌اند. الگوریتم زمان‌بندی بار در سیستم مدیریت انرژی خانه، برای ایجاد زمان‌بندی بهینه بار بر اساس اطلاعات اجزاء، تنظیمات مصرف کنندگان و مکانیزم قیمت‌گذاری اجرا می شود. هسته‌ی عملیاتی زمان‌بندی بار، بهره‌گیری از قابلیت اعطاف بار، مطابق با خروجی‌های منابع انرژی و مکانیزم قیمت‌گذاری، با هدف کمینه کردن هزینه انرژی ضمن حفظ راحتی مصرف کنندگان می باشد. سه دسته وسائل شامل لوازم غیر قابل برنامه-ریزی، قابل کنترل با تنظیم زمانی و لوازم قابل کنترل با تنظیم دمایی وجود دارد. دسته اول، لوازم غیر قابل برنامه‌ریزی که در موقع نیاز استفاده می‌شوند. دسته دوم که قابلیت تنظیم زمانی دارند می توانند با برنامه مشخص در زمان‌هایی با قیمت مناسب روشن یا خاموش شوند که روابط آنها به صورت زیر می باشد.

$$OS_{t,j} = \begin{cases} 0 & or \ 1 , t_j^{EST} \leq t \leq t_j^{LF} \\ 0 & , otherwise \end{cases} \quad (10)$$

$$OS_{t,j} = \begin{cases} 1 & , t_j^{start} \leq t \leq t_j^{start} + t_j^{OD} - 1 \\ 0 & , otherwise \end{cases} \quad (11)$$

$$P_{t,j}^{sch} = \begin{cases} P_j & , OS_{t,j} = 1 \\ 0 & , OS_{t,j} = 0 \end{cases} \quad (12)$$

$$P_t^{demand.sch} = \sum_{j=1}^J P_{t,j}^{sch} \quad (13)$$

معادله (۱۰) بیان می کند که هر وسیله تنها در محدوده زمانی مشخص خود، یعنی پنجره زمانی اش می تواند عملکرد داشته باشد. معادله (۱۱) نشان می دهد که هر وسیله بعد از شروع عملکرد، تا پایان زمان عملکردش، روشن می ماند. معادله (۱۲) نیز توان مصرفی هر وسیله در هر

۵- فرمول‌بندی ریاضی مساله

در این پژوهش با استفاده از روابط مربوط به تابع هزینه که در بخش بعدی قابل مشاهده است و به وسیله روش بهینه‌سازی بهبودیافته الگوریتم ازدهام ذرات (PSO) به حل مساله پرداخته شد و بهینه‌سازی انجام شده است.

۱-۵- تابع هدف نهایی مساله

تابع هدف بهینه‌سازی نهایی، مجموع وزن دار سه تابع هزینه تعریف شده است. همچنین قیود نیز باید رعایت شوند تا بهترین پاسخ یافته شود.

$$\min : w_1 \cdot F_1(NOC) + w_2 \cdot F_2(DTR) + w_3 \cdot F_3(EENS) \quad (20)$$

که در آن $w_1 + w_2 + w_3 = 1$ و $w_1, w_2, w_3 \in [0,1]$. در رابطه (۲۰)، w_1 ، w_2 و w_3 ضرایب وزنی هستند که اهمیت هر یک از توابع هزینه و میزان تأثیرگذاری آنها را بر تابع هدف نهایی تعیین می‌کنند.

۲-۵- تابع هزینه عملکرد نانوشکه

برای یافتن تابع هدف باید مساله براساس هزینه چینش شود و روابط به یک تابع هزینه برسد و سپس آن بهینه شود. تمامی اجزای سیستم دارای هزینه عملکرد و تعمیرنگهداری می‌باشند که به صورت رابطه (۲۰) آمده است که به دلار می‌باشد.

$$NOC = \sum_{t=1}^T \left[\begin{array}{l} \delta(m^{wt} P_t^{wt} + m^{pv} P_t^{pv}) \\ + m^{batt} P_t^{batt} + b_t P_t^{grid.buy} \\ - q_t P_t^{grid.sell} \end{array} \right] + \sum_{s=1}^S \pi_s \left\{ \sum_{t=1}^T \left[\begin{array}{l} \delta(m^{wt} P_{s,t}^{wt} + m^{pv} P_{s,t}^{pv}) \\ + m^{batt} P_t^{batt} + b_t P_t^{grid.buy} \\ - q_t P_t^{grid.sell} \end{array} \right] \right\} \quad (21)$$

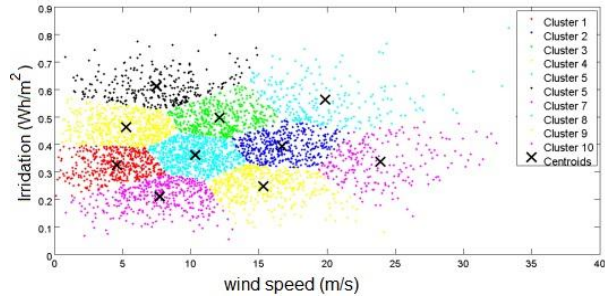
که شامل هزینه عملکرد توربین باتری به ازای میزان تولید توان، هزینه عملکرد پنل خورشیدی، باتری و اختلاف توان‌های خریداری شده و فروخته شده از به شبکه می‌باشد.

۳-۵- قیود مساله

قیود این مساله از دو قسمت اساسی تشکیل می‌شود: قیود عملکرد اجرا که هر جزو بسته به محدودیت‌های خودش باید عملکرد مناسبی داشته باشد که در روابط قبل اعمال شده‌اند و نیز قید تعادل انرژی که روابط آن به صورت (۲۵) می‌باشد. همچنین P_t^{demand} خود از مجموع میزان مصارف تمامی سه دسته وسایل برقی پیش‌تر ذکر شده، می‌باشد که در رابطه (۲۶) بیان گردیده است.

باد و تابش خورشید تولید شده است. برای این هدف تابع توزیع تجمعی سرعت باد و تابش خورشید به 3000 بازه با احتمال‌های برابر $1/3000$ تقسیم شده است. حال برای هر بازه زمانی 3000 زوج داده سرعت باد و شدت تابش خورشید در اختیار است. با توجه به تعداد بالای سناریوهای زمان اجرای برنامه نیز به شدت افزایش می‌یابد. این یک چالش است، زیرا برای برنامه‌ریزی 24 ساعته انرژی و تقاضا، اپراتور مجبور است تا جائی که ممکن است سریع تصمیم بگیرد. بنابراین به منظور کاهش زمان محاسبات، از روش الگوریتم خوشبندی K-means^۹ برای مرتب کردن سناریوهای اصلی سرعت باد و تابش خورشید داخل دسته‌هایی بر اساس تشابه و فاصله بین آن‌ها انتخاب شده است. این روش براساس رویه تکراری بنا شده که مرکز ثقل هر دسته به عنوان مقدار میانگین سرعت باد و تابش خورشید اختصاص داده شده به هر دسته تعریف شده است [۲۵].

مرکز ثقل برای هر دسته، یک سناریو را که شامل 2 مقدار متفاوت مثلاً مقادیر میانگین سرعت باد و تابش خورشید است، نشان می‌دهد. شکل ۵ نیز یک نمونه خوشبندی و تعیین مرکز ثقل خوشبندی سناریوهای سرعت باد و شدت تابش خورشید هستند. تعداد سناریوهای موجود در هر دسته تقسیم بر تعداد کل سناریوهای اصلی، احتمال هر سناریو را نشان می‌دهد.



شکل ۵: سناریوهای سرعت باد و تابش خورشید و خوشبندی آن‌ها برای ساعت 3 بعد از ظهر یک روز نمونه‌ای

۴-۸- فرمول‌بندی تاب آوری

با توجه به [۱۹]، با درنظر گیری تعریف و مفهوم تاب آوری ذکر شده، می‌بایست حالت عملکرد در زمان بحران نزدیک به حالت عملکرد در زمان عادی کارکرد سیستم شود. در یک نانوشکه تداوم برق رسانی اهم موضوع است که به وسیله این کار با درنظر گرفتن شاخص انتظار انرژی تأمین نشده توسط شبکه بالادستی، به عنوان تابع هزینه تاب آوری، انجام می‌شود؛ که معیار مناسبی برای این نزدیک‌سازی دو حالت عملکرد خواهد بود.

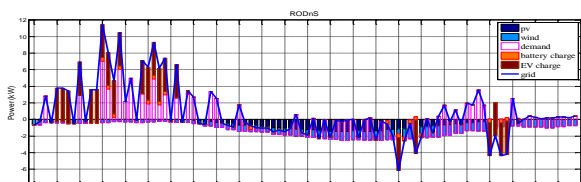
EENS^{۱۰}، شاخص انتظار انرژی تأمین نشده توسط شبکه بالادستی است. این شاخص، امید ریاضی انرژی تأمین نشده نانوشکه در زمان قطعی برق می‌باشد که مقدار آن از رابطه (۱۹) بدست می‌آید و در آن احتمال قطع برق (نایابی شبکه بالادستی) در هر بازه زمانی است:

$$EENS = \sum_{t=1}^T \delta(p_t^{outage} \times P_t^{grid.buy}) (kwh) \quad (19)$$

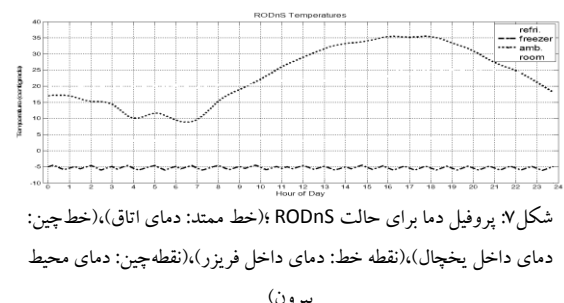
هزینه بهتر بودن، بررسی می شود. هر یک حالت های شبیه سازی در این بخش، در موارد زیر با هم تفاوت دارند. در بخش قیمت گذاری دو حالت با درنظر گیری پیک تقاضا از شبکه (P) و - بدون درنظر گیری پیک تقاضا از شبکه (R)، در بحث زمان آغاز به کار و سایل دو حالت - زودترین زمان آغاز به کار (E) و - زمان آغاز به کار بهینه (O)، همچنین در بحث نرخ زمان تأخیر نیز دو حالت - در نظر گیری نرخ زمان تأخیر (Dy) و - بدون در نظر گیری نرخ زمان تأخیر (Dn) و در پایان، یک روز - تابستانی (S) و - زمستانی (W) مطالعات انجام شده است.

۲-۶ مقایسه تعادل توان در حالات مختلف

شکل های ۶ و ۷ تعادل توان در بخش تولید و تعادل دما را در این بخش نشان می دهند که یکی از این حالت ها می باشد.



شکل ۶: نمودار تعادل توان الکتریکی برای حالت RODnS (بدون درنظر گیری پیک تقاضا از شبکه/زمان آغاز به کار بهینه/بدون درنظر گیری نرخ زمان تأخیر/فصل تابستان)



منحنی توان الکتریکی دریافتی از شبکه بالادستی در نمودارهای تعادل توان الکتریکی مربوط به حالت هایی که تنها از نرخ قیمت گذاری بلاذرگ (که در ابتدای نام آن از حرف 'R' استفاده شده است) استفاده کرده اند، دارای افت و خیزهای فراوان است زیرا در این حالت ها، زمان بندی و سایل خانه و زمان بندی شارژ خودروی الکتریکی و باتری به گونه ای تنظیم می شود که در بازه های زمانی با قیمت انرژی کم، توان مورد نیاز نانوشکه از شبکه بالادستی خریداری شود. این امر ضمن کاهش هزینه ها، باعث اعمال پیک های ناخواسته به شبکه می شود. ولی با اعمال نرخ قیمت گذاری پیک تقاضا از شبکه، پروفیل توان دریافتی از شبکه مسطح تر می شود. با مقایسه حالت های تابستان می توان دریافت که تولید انرژی بادی و خورشیدی در ساعت ۹ الی ۱۷ باعث شده است که تقاضای انرژی از شبکه بالادستی صفر و در بیش تر اوقات منفی شود. این بدان معنی است که نانوشکه در این ساعات با فروش برق به شبکه در حال سودآوری است. در کنار آن

$$\begin{aligned} P_t^{demand} = & P_t^{wt} + P_t^{pv} + P_t^{grid_buy} \\ & + P_t^{batt,dch} - P_t^{grid,sell} - P_t^{batt,ch} \end{aligned} \quad (25)$$

$$\begin{aligned} P_t^{demand} = & P_t^{demand,non_sch} + P_t^{demand,sch} \\ & + P_t^{demand,cooler} + P_t^{demand,heater} \\ & + P_t^{demand.refri} + P_t^{demand.freezer} \end{aligned} \quad (26)$$

۴-۵ نرمالیزه سازی

برای این که تابع هزینه بتواند وارد تابع هدف بهینه سازی شود، باید نرمالیزه گردد. عمل نرمالیزه کردن، برای هم مقیاس کردن توابع هزینه موجود در تابع هدف نهایی انجام می شود.

$$F_1(NOC) = \frac{NOC}{NOC_{max}} \quad (27)$$

$$F_2(DTR) = \frac{\sum_{j \in J} \rho^{DTR_j}}{\left(\sum_{j \in J} \rho^{DTR_j} \right)_{max}} \quad (28)$$

$$F_3(EENS) = \frac{EENS}{(EENS)_{max}} \quad (29)$$

در (۲۷)، (۲۸) و (۲۹)، F_1 تابع نرمالیزه هزینه عملکرد، F_2 تابع آسایش ساکنین و F_3 نرمالیزه شده تاب آوری می باشد.

۶- نتایج شبیه سازی

در این بخش به ارایه نتایج و تفسیر نتایج شبیه سازی پرداخته می شود. داده های اولیه شامل مقادیر میانگین سرعت باد و انحراف استاندارد آن، میانگین تابش خورشید و انحراف استاندارد آن و دمای هوا در هر ساعت از مرجع [۲۹] دریافت شده است. این اطلاعات برای شهر آبردین از ایالت آیدaho در امریکا، برای یک روز تابستانی و یک روز زمستانی در سال ۲۰۱۵ می باشد. توربین بادی نیز از کتابخانه نرم افزار Homer و بدل خورشیدی به مساحت ۱۲ متر مربع با بازده ۹۰٪ در نظر گرفته شده است. همچنین محدودیت پیک تقاضا به ازای ۵ کیلووات در ۱۰ دلار بسته شده است. اطلاعات لوازم برقی از [۴] و [۷] استخراج شده اند. پنجه زمانی ۱۵ دقیقه ای می باشد و روند بهینه سازی به روش حالت ابتکاری از دحام ذرات انجام داده شده است. همچنین ضرایب وزنی تابع هدف به صورت برابر درنظر گرفته شده اند؛ یعنی هر سه پارامتر تابع هدف از یک درجه اهمیت برخوردار هستند.

۶-۱- حالت های مطالعه

با توجه به روش قیمت گذاری، زمان آغاز به کار و سایل، نرخ زمان تأخیر و روز مورد مطالعه، مجموعاً ۱۶ حالت شبیه سازی در نظر گرفته می شود. ابتدا نتایج بدون درنظر گرفتن تابع هزینه تاب آوری، بدست آمده، سپس اثر تابع هزینه تاب آوری روی دو مورد از حالت هایی که از لحاظ

۶-۴- بودسی اثر درنظرگیری تاب آوری روی دو حالت PODyS و RODnS

برای بررسی اثر شاخص تاب آوری بر نتایج حاصل از شبیه‌سازی، شبیه سازی روی دو حالت RODnS و RODyS (که بهترین نتایج را از نظر هزینه برای فصل تابستان داشته‌اند)، با درنظرگیری وزن مناسب برای تابع هزینه تاب آوری انجام شده است. حالت‌هایی که در آن شاخص انتظار انرژی تأمین نشده به تابع هدف اضافه شده‌اند، با پسوند with ENS مشخص شده‌اند. نتایج حاصل از شبیه‌سازی با درنظرگیری شاخص تاب آوری در جدول ۱ آورده شده است. در این جدول هزینه عملکرد نانوشکه، درصد زمان تأخیر، انتظار انرژی تأمین نشده و شاخص پایابی انرژی مورد مقایسه قرار گرفته‌اند.

شاخص پایابی انرژی EIR	کل انرژی تأمین نشده (KWh)	انتظار انرژی تأمین نشده (KWh)	درصد زمان تأخیر	هزینه عملکرد نانوشکه	نام حالت
.۹۹۹۳۰۱	۲۶۱۲۸۸	.۰۰۲۲۴	۲۲/۶۱	.۰۰۰۱۷	RODnS
.۹۹۹۳۹۵	۲۶۳۸۶۶	.۰۰۲۰	.۰۹۲	.۰۰۵۲۳	RODyS
.۹۹۹۶۸۰	۴۰۳۴۲۹	.۰۰۱۲۹	۱۵/۶۲	.۰۶۲۶۳	RODnS_with ENS
.۹۹۹۶۱۴	۲۱۳۷۸۰	.۰۰۱۲۱	۲/۱۸	.۰۰۵۰۳	RODyS_with ENS

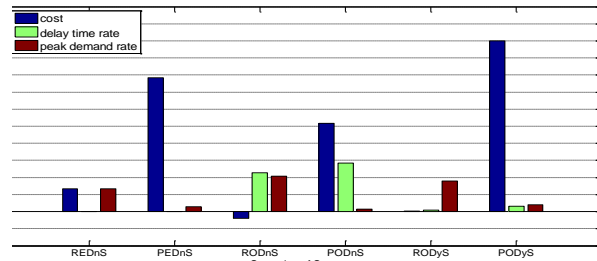
جدول ۱: مقایسه نتایج حاصل از شبیه‌سازی با درنظرگیری شاخص تاب آوری و RODyS بدون درنظرگیری شاخص تاب آوری برای حالت‌های RODnS و RODyS

نتایج حاصل از جدول ۱ نشان می‌دهد که با در نظر گرفتن شاخص مربوط به انتظار انرژی تأمین نشده و اضافه کردن آن به عنوان تابع هزینه تاب آوری سیستم به تابع هدف نهایی مسئله، هر چند هزینه حدود یک دلار افزایش پیدا می‌کند ولی شاخص‌های انتظار انرژی تأمین نشده و پایابی انرژی بهبود پیدا می‌کرده‌اند. این افزایش هزینه به دلیل افزایش تاب آوری است. در حالت تاب آور عملکرد سیستم‌های ذخیره سنگین تر شده و نیاز به انعطاف پیشتری خواهد داشت؛ به طوری که کلیدزنی با تری‌ها و جابجایی زمان روشن شدن وسایل تنظیم زمانی و نیز تغییر زمان روشن و خاموش شدن وسایل دمایی، با هدف افزایش شاخص تاب آوری است که منجر به شیفت بار به سمت زمان‌هایی که برق گرانتر است، می‌باشد. با درنظر گرفتن تابع هزینه تاب آوری، شاخص پایابی انرژی بهبود پیدا می‌کند. این بهبود بیشتر در اثر انتقال برخی از مصارف انرژی به ساعت با احتمال قطعی کم تر و دشارژ انرژی با تری و خودروی الکتریکی در ساعات با تقاضای انرژی بیشتر از شبکه، رخ می‌دهد. با تأمل بیشتر در نتایج به این مهم دست می‌باییم که کمترین هزینه مربوط به حالت RODnS است، زیرا تابع هدف تنها هزینه انرژی نانوشکه بوده است. همچنین کمترین درصد زمان تأخیر مربوط به حالت RODyS بوده است، زیرا نرخ زمان تأخیر در تابع هدف درنظر گرفته شده است. بیشترین میزان شاخص پایابی انرژی مربوط به حالت RODnS_with ENS بوده است که در آن تابع هزینه تاب آوری نیز در تابع هدف نهایی مسئله درنظر گرفته شده است.

انتقال بارهای موجود در خانه از این ساعات به ساعات دیگر به این امر کمک فراوان می‌کند. بهینه‌سازی، بازه‌های دشارژ خودروی الکتریکی و با تری را به ساعات بیشترین قیمت انتقال داده و سودآوری به همراه داشته یا از هزینه‌ها می‌کاهد.

۶-۳- مقایسه تمام حالت‌ها از نظر هزینه، پیک توان، درصد زمان تأخیر و نسبت پیک دریافتی به مجموع انرژی

همان‌طور که از نمودار شکل ۷ و مقایسه حالت‌های RODnS و RODyS پیداست، حالت RODyS به خوبی توانسته است از هزینه نانوشکه بکاهد. منفی شدن میله‌ی مربوط به هزینه در حالت RODnS نشان می‌دهد که این حالت نه تنها هزینه‌ای را به خانه تحمیل نمی‌کند بلکه اندکی سود نیز به همراه دارد. در عین حال در این حالت مقدار درصد زمان تأخیر آن و نیز پیک تقاضای توان از شبکه نسبت به سایر حالت‌ها، بالاتر است، بنابراین نمی‌تواند آسودگی خاطر کافی را برای ساکنین خانه تأمین کند. در مقایسه با RODnS، حالت RODyS که بخش تابع هدف نموده است، توانسته است به زمان تأخیر را با وزن مشخصی وارد تابع هدف نموده است، توانسته است ضمن افزایش ناچیزی در هزینه نانوشکه (حدوداً ۴٪)، مقدار درصد نرخ زمان تأخیر را تا حدود زیادی کاهش دهد (حدوداً ۲۲٪) و از این طریق رضایت خاطر ساکنین خانه را نیز فراهم آورد. بنابراین این مقایسه اثر بخشی مدل ارائه شده در این پژوهش برای کاهش نرخ زمان تأخیر وسایل رانشان می‌دهد. بنابراین دخالت دادن بخش نرخ زمان تأخیر به تابع هدف نهایی در حالت شبیه‌سازی RODyS، مقدار قابل قبولی را برای هزینه انرژی نانوشکه و نرخ زمان تأخیر لوازم خانگی (هزینه آسودگی خاطر ساکنین)، با مصالحه بین آن‌ها بدست می‌آورد.

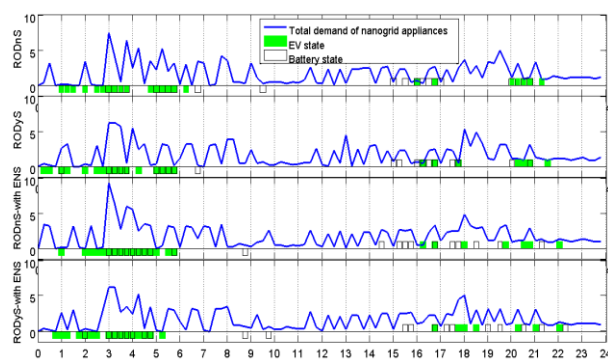


شکل ۸: نمودار مقایسه ای بین هزینه (ستون آبی)، نرخ زمان تأخیر (ستون سبز) و نرخ تقاضای پیک (ستون قهوه‌ای) برای حالت‌های تابستان

مقایسه بین حالت‌های RODnS و PODnS، RODyS و PODyS و حالت‌های RODnS و PODyS و حالت‌های REDnS و PEDnS به ترتیب کاهش‌های ۱۹، ۱۱ و ۱۵ درصدی را در میزان پیک انرژی دریافتی از شبکه نشان می‌دهد و این امر اثر بخشی نرخ قیمت گذاری پیک تقاضا از شبکه را بر مدل ارائه شده در این پژوهش نشان می‌دهد. در کل می‌توان نتیجه گرفت که با وجود اعمال نرخ زمان تأخیر به تابع هدف، بهینه‌سازی کارایی خودش را از دست نداده است و ضمن کاهش هزینه‌های نانوشکه، آسایش خاطر ساکنین را با کم کردن درصد زمان تأخیر وسایل فراهم می‌کند.

مراجع

- [1] Vc. Gungor, D. Sahin, T. Koack, S. Ergut.C. Bucella, C. Cecati, and G. P. Hancke, "Smart Grid and Smart Homes Key Players and Pilot Projects", IEEE Industrial Electronics magazine, December 2012.
- [2] Momoh, J., "Smart grid design for efficient and flexible power networks operation and control", In Power Systems Conference and Exposition, PSCE'09. IEEE/PES, March 2009.
- [3] H. Morsali, S. M. Shekarabi, K. Ardekani, H. Khayami, A. Fereidunian, M. Ghassemian, H. Lesani., "Smart Plugs for Building Energy Management System", 2nd Iranian Conf. on Smart Grid, ICSG 2012.
- [4] M. Kojury-Naftchali, A. Fereidunian, H. Lesani, "Identifying susceptible consumers for demand response and energy efficiency policies by time-series analysis and supplementary approaches", 24th Iranian Conf. on Elec. Engineering, ICEE 2016.
- [5] Ghasemieh H, Haverkort BR, Jongerden MR, Remke A. Energy resilience modelling for smart houses. In 2015 45th Annual IEEE/IFIP International Conference on Dependable Systems and Networks 2015 Jun 22 (pp. 275-286). IEEE.
- [6] Ouyang, M., & Dueñas-Osorio, L. (2014). Multi-dimensional hurricane resilience assessment of electric power systems. Structural Safety, 48, 15-24.
- [7] امینی فر. فرخ, "درآمدی بر مفهوم تاب آوری در سیستم‌های قدرت", سخنرانی علمی, پژوهشگاه نیرو, سالن فردوسی, ۹۵/۷/۲۶
- [8] Roche R, Berthold F, Gao F, Wang F, Ravey A, Williamson S. A model and strategy to improve smart home energy resilience during outages using vehicle-to-home. In Electric Vehicle Conference (IEVC), 2014 IEEE International 2014 Dec 17 (pp. 1-6). IEEE.
- [9] Marrone S, Gentile U. Finding Resilient and Energy-saving Control Strategies in Smart Homes. Procedia Computer Science. 2016 Dec 31;83:976-81.
- [10] Guan, X., Xu, Z. and Jia, Q.S., "Energy-Efficient Buildings Facilitated by Microgrid," IEEE Transaction on Smart Grid, Vol. 1, No. 2, pp. 243-252, 2010.
- [11] Huang, Y., Tian, H. and Wang, L., "Demand response for home energy management system,"



شکل ۹: مقایسه پروفیل دیماند کل لوازم خانگی نانوشبکه، شارژ و دشارژ خودروی الکتریکی و باتری، در حالت‌های RODNs—، RODyS—، RODNs—with ENS و RODyS—with ENS

شکل ۹، دیماند کل لوازم خانگی نانوشبکه، وضعیت‌های شارژ و دشارژ خودروی الکتریکی و باتری را در هر یک از چهار حالت بالا نشان می‌دهد. همان‌طور که شکل پیداست، در دو حالت اول که تاب آوریه به تاب آوری در نظر گرفته نشده است، تمرکز دشارژ خودروی الکتریکی و باتری، بیش‌تر در زمان‌هایی است که قیمت برق بالا بوده و فروش انرژی برای نانوشبکه سودآوری دارد، یعنی ساعت‌های ۱۶ الی ۲۰ و ۱۷ الی ۲۱. برای دو حالت آخر یعنی با درنظر گیری تاب آوری در تاب آوری هدف نهایی مسأله، مشاهده می‌شود که دشارژ خودروی الکتریکی و باتری، بیش‌تر، در زمان‌هایی انجام می‌شود که دیماند لوازم خانگی، بالاتر است و بدین صورت، واپسگی نانوشبکه به دریافت توان از شبکه بالادستی، کمتر می‌شود. بنابراین در صورت وقوع خاموشی، مقدار باری که در نانوشبکه از دست می‌رود، کم‌تر شده و درنتیجه، پایایی انرژی آن بیش‌تر می‌شود.

۷- تحلیل و نتیجه‌گیری

این پژوهش اثر برنامه‌ریزی در زمانبندی و سیستم دمایی را با مقایسه درنظر گرفتن تاب آوری و در نظر نگرفتن آن، به خوبی به نمایش گذاشت. ضمن در نظر گیری نایقینی‌ها در منابع تولید پراکنده و تولید سنتزی‌های مختلف به روش‌های جدید بهترین حالات را در سنتزی‌سازی انجام داده و به تاب آوری هدف نهایی وارد شود. همچنین به زمان‌های بهینه شارژ و دشارژ باتری و خودرو دست یافته شد و بهترین حالات بر اساس هزینه مشخص شده است. فاکتور مهمی که رضایتمندی ساکنین را در بر می‌گیرد، در نظر گرفته شد تا بر اساس آن با کمترین هزینه بهترین حالات ممکن استفاده ساکنین از وسائل و همچنین در تعیین بهینه دمای سیستم‌های حرارتی و برودتی نانوشبکه ارایه شد. با مقایسه درنظر گرفتن هزینه تاب آوری و درنظر نگرفتن آن مشاهده می‌شود که با وجود افزایش کمی در هزینه، مقدار انتظار انرژی تامین نشده تقریباً به نصف کاهش و شاخص‌های پایایی بهبود داشته‌اند. این بین معنا است که با اندکی افزایش هزینه در برنامه ریزی می‌توان از هزینه‌های اضافی در آینده جلوگیری کرد.

- [۲۱] باقری، س، فریدونیان، ع، "نانوشکه هوشمند تاب آور با سیستم مدیریت انرژی خطی و درنظر گیری عدم قطعیت" ششمین کنفرانس بین المللی سیرد، ایران، تهران ۱۳۹۶
- [۲۲] Clark-Ginsberg. A, Stanford University, "What's the Difference between Reliability and Resilience", Online: https://ics-cert.us-cert.gov/sites/default/files/ICSGWG-Archive/QNL_MAR_16/reliability%20and%20resilience%20pdf.pdf, March 2017.
- [۲۳] لیموزاده، ا.، درخشندۀ، س.، ی.، «برنامه‌ریزی همزمان انرژی و ذخیره در ریز شبکه‌ها با لحاظ نمودن قیود قابلیت اطمینان»، کنفرانس ملی فناوری، داده و انرژی با رویکرد مهندسی برق و کامپیووتر ۱۳۹۴
- [۲۴] Zhang, Di, Nilay Shah, and Lazaros G. Papageorgiou. "Efficient energy consumption and operation management in a smart building with microgrid." *Energy Conversion and management* 74 (2013): 209-222.
- [۲۵] Mazidi, M., Zakariazadeh, A., Jadid, S. and Siano, pp., "Integrated scheduling of renewable generation and demand response programs in a microgrid," *Energy Conversion and Management*, Vol. 86, pp. 1118-1127, 2014.
- [۲۶] Rastegar, M., Fotuhi-Firuzabad, M. and Aminifar, F., and Farrokh Aminifar. "Load commitment in a smart home." *Applied Energy*, Vol. 96, pp. 45-54, 2012.
- [۲۷] Tarasak, pp., Chai, C.C., Kwok, Y.S. and Oh, S.W., "Demand Bidding Program and Its Application in Hotel Energy Management." *IEEE Transactions on Smart Grid*, Vol. 5, No. 2, pp. 821-828, 2014.
- [۲۸] Zhao, Z., Lee, W.C., Shin, Y. and Song, K.B., "An Optimal Power Scheduling Method for Demand Response in Home Energy Management System," *IEEE Transactions on Smart Grid*, Vol. 4, No. 3, pp. 1391 - 1400, 2013.
- [۲۹] AgriMet, "AgriMet Weather Data." [Online]. Available: <http://www.usbr.gov/pn/agrimet/wxdata.html>
- [۲۰] باقری، س، فریدونیان، ع، "مدیریت انرژی نانوشکه‌های هوشمند با رویکرد تاب آوری"، پنجمین کنفرانس بین المللی سیرد، ایران، تهران، ۱۳۹۵

⁶ Electrical vehicle⁷ Delay time rate⁸ Latin Hypercube Sampling⁹ K-means clustering¹⁰ Exception of energy not supplied

International Journal of Electrical Power & Energy Systems, Vol. 73, pp. 448-455, 2015.

[۱۲] محمد خلیل زاده، علیرضا فریدونیان، سید محمد تقی بطحایی، "خانه-های تبادل انرژی صفر: بررسی آماری و ارزیابی مقایسه اقتصادی انرژی"، دومین کنفرانس بین المللی رویکردهای نوین در نگهداری ۱۳۹۴

[۱۳] M. H. Amrollahi, S.M.T. Bathaei, A. Fereidunian, A. Bahramiazar, "Integration of Renewable Energy Sources in Zero Energy Biuldings", Conf. and exhibition on Elec. Distribution Cired, 2014.

[۱۴] Shirazi, E., Zakariazadeh, A. and Jadid, S., "Optimal joint scheduling of electrical and thermal appliances in a smart home environment," *Energy Conversion and Management*, Vol. 106, pp. 181-193, 2015.[۱۵] Chakraborty, S., Weiss, M.D. and Simoes, M.G., "Distributed intelligent energy management system for a single-phase high-frequency AC microgrid," *IEEE Transactions on Industrial Electronics*, Vol. 54, No. 1, pp. 97-109, 2007.[۱۶] Dukpa, A., Duggal, I., Venkatesh, B. and Chang, L., "Optimal participation and risk mitigation of wind generators in an electricity market," *IET renewable power generation*, Vol. 4, No. 2, pp. 165-175, 2010.[۱۷] Setlhaolo, D. and Xia, X., "Optimal scheduling of household appliances with a battery storage system and coordination," *Energy and Buildings*, Vol. 94, pp. 61-70, 2015.[۱۸] Gholami. A, Aminifar. F, Shahidehpour. M, "Frontlines against the Darkness", *IEEE Electrification Magazine*, 1 march 2016.[۱۹] Ouyang, M., & Dueñas-Osorio, L. (2014). Multi-dimensional hurricane resilience assessment of electric power systems. *Structural Safety*, 48, 15-24.

[۲۱] باقری، س، فریدونیان، ع، "مدیریت انرژی نانوشکه‌های هوشمند با رویکرد تاب آوری"، پنجمین کنفرانس بین المللی سیرد، ایران، تهران، ۱۳۹۵

¹ Demand side management² Energy efficiency (EE)³ Demand response (DR)⁴ Real time⁵ Rayleigh